



열차성능에 맞는 최적의 속도제어를 하는 것이다. 기존 신호시스템과 비교하여 열차사이의 거리가 궤도회로에 의한 폐색구간에 의존하지 않고도, 최소 안전거리를 유지할 수 있고 열차사이의 운전 시격을 현저히 단축할 수 있으며, 궤도회로 등 지상설비의 필요성이 크게 줄어 유지보수 비용을 절감시킬 수 있다.

MBS 시스템 적용시 기대되는 효과는 아래와 같다.

- (1) 열차간 간격 단축으로 R/H(Rush Hour) 시간대에 승객 수송용량이 증대한다.
- (2) 열차 속도증가로 고객만족도 향상된다.
- (3) 열차가속 및 제동거리 최소화로 표정속도(정차 시간을 포함한 평균속도) 증가한다.
- (4) 이용승객 증가로 재원증대가 예상된다.

MBS시스템은 제한된 철도신호시스템의 현재 여건에서 가장 합리적이고, 저렴한 차세대 신호시스템으로서 수도권의 교통문제를 해소시킬 수 있는 대안으로 대두되고 있다.

그리고, 열차간 간격제어를 위해 열차의 위치정보를 실시간으로 파악하는 것이 중요하다. 따라서, 열차위치를 계산할 수 있는 계산식을 제안하였다. [2][3][4][5]

### 3. 열차의 위치정보

열차의 위치정보를 계산하기 위해 샌프란시스코 고속통근열차(BART:Bay Area Rapid Transit)에 시범적용하고 있는 AATC(Advanced Automatic Train System)시스템을 기본 모델로 하여 열차위치 계산식을 유도하였다.

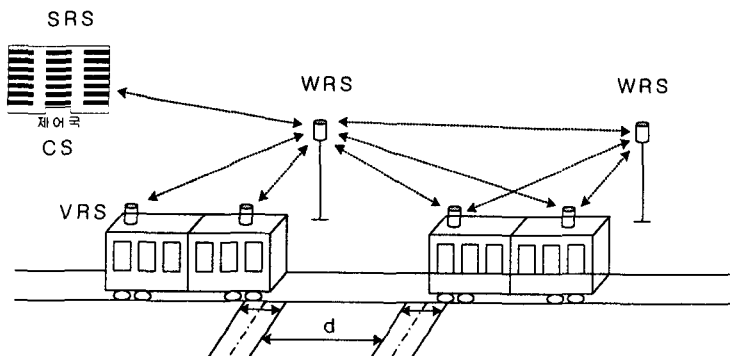


그림 1 AATC시스템 기본 구성도

- VRS (Vehicle Radio Set): 차상 무선기
- WRS(Wayside Radio Set): 지상 무선기
- SRS (Station Radio Set): 제어국용 무선기
- CS(Control Station): 제어국

그림 1과 같이 AATC시스템의 구성은 지상측에서 CS와 제어국용 무선기(SRS) 2대, 안테나, 제어용 컴퓨터(SC) 1대, 지상무선기(WRS), 안테나에 전원배선과 ID설정용 케이블이 접속되어 있으며, 차상측에는 차상무선기(VRS)와 안테나 및 ATIC(기존의 ATC 장치와 접속하기 위한 인터페이스 장치)장치를 선두 차량 및 후미 차량에 각각 한 대씩 설치하였다. 따라서, 종래의 신호시스템에 비해서 적은 종류의 기기 및 설비 수로 구성되어 있다. 그림 2는 VRS와 WRS간의 TOA(Time

Of Arrival)과 기준시간오차를 표시한 것으로 VRS의 기준시간이 WRS보다  $\Delta T$ 만큼 빠르다고 가정하였다. 또한, 열차가 운행하는 선로의 좌표정보와 지상 WRS 좌표정보는 이미 알고 있다. 따라서, 평면상에서 열차의 절대위치(VRS의 위치)를 구하는 절차는 다음과 같다.

- ① 두 개의 WRS와 VRS간의 거리( $L$ )를 구한다.
- ② 각각의 WRS에서  $L$ 을 반지름으로 하는 원을 그리고 만나는 점의 좌표를 확인한다.
- ③ 실제 선로의 위치 정보와 비교하여 허상의 좌표를 버린다.
- ④ 실상의 좌표 값으로 열차의 절대위치를 확인한다.

각 단계에서 수행하는 절차는 지상무선기(WRS)에서 보낸 무선 메시지를 차상무선기(VRS)에서 수신하며 VRS는 WRS 정보에서 기준시간축의 차  $\Delta T$ 를 포함한 도착시간(TOA1)을 계측한다. 이 결과, 편도 전달거리는 그림 2에서 TOA1+ $\Delta T$ 로 표시할 수 있으며 또한, 차상무선기(VRS)에서 지상무선기(WRS)로 같은 방법

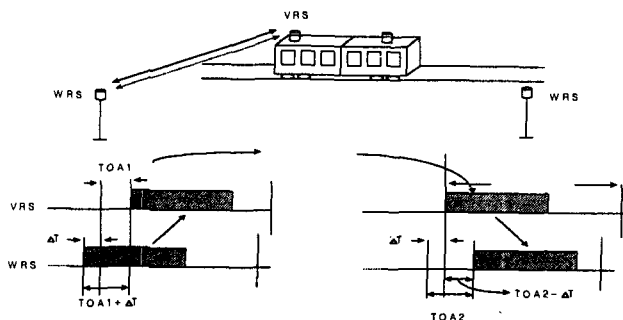


그림 2 거리측정 원리

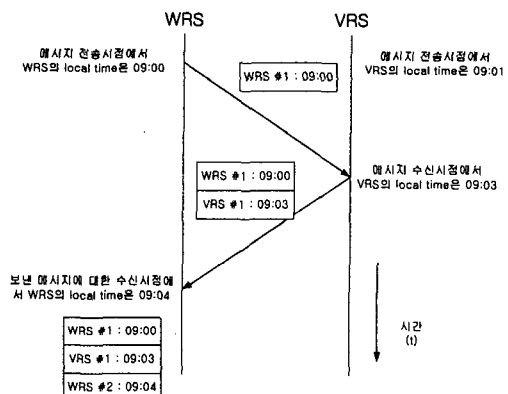
으로 정보를 송신하여 이때 계산한 도착시간 (TOA2)은 기준시간축의 차  $\Delta T$ 를 빼주어야 한다 편도 전달시간 TOA2- $\Delta T$ 이다. TOA1과 TOA2를 가산하여 2로 나누면 편도분 전파의 지연시간을 구할 수 있다.

WRS가 VRS로 전송한 메시지와 그에 대한 회신 메시지내부의 시간정보를 통해서 TOA와  $\Delta T$ 의 값을 구할 수 있다. 그림 3은 TOA가 2분,  $\Delta T$ 가 1분인 경우에 전송 시나리오 사례이다.

#### · 편도분 지연시간

$$= \frac{(TOA1 + \Delta T + TOA2 - \Delta T)}{2}$$

$$= \frac{(TOA1 + TOA2)}{2}$$



위 식에서 편도분 시간을 구해서 아래 식에 대입하면 편도분 거리를 구할 수 있다.

그림 3 TOA : 2[min],  $\Delta T$  : 1[min]인 경우

· 편도분 거리 ( $S$ ) =  $C \times \frac{(TOA1 + TOA2)}{2}$  ( $C = \text{광속} = 3 \times 10^8 [\text{m/s}]$ )

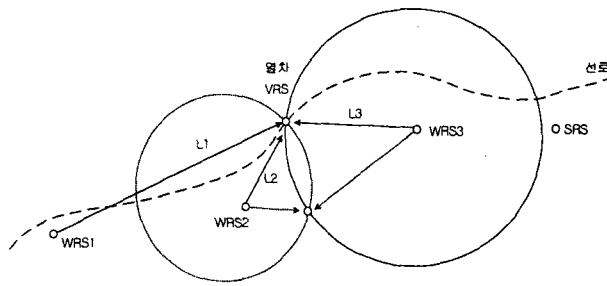


그림 4 Mapping 법

그림 4는 이미 알고있는 선로 정보를 통해서 허상의 좌표점을 버리고 열차가 존재하는 실상의 좌표점을 찾는 Mapping 법을 나타내고 있다.

2개소의 WRS로부터 측정된 VRS까지의 거리측정치로부터, 선로상에 Mapping 하여 열차의 절대위치를 구할 수 있다.

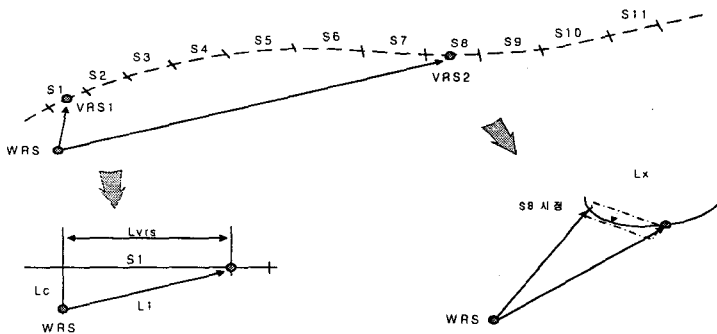


그림 5 곡선부 보정 방법

그림 5는 WRS에서 통신을 통하여 S1지점의 VRS1과의 거리를 측정하고, S8지점의 VRS2와 거리를 측정하여 열차가 이동한 VRS1에서 VRS2까지의 거리를 계산해 낼 수 있다.

그림 6은 곡선부 P1에서 P2 사이의 열차가 이동한 거리를 측정하는 방법이다.  $\triangle ABP_1$ 의 세변의 길이  $L_1, L_2, L_3$ 을 미리알고 있으므로  $\angle \alpha_1, \angle \alpha_2, \angle \alpha_3$  의 각도를 구하기위해 삼각형 공식을 적용해 식을 정리하면 아래와 같다.

$\triangle ABP_1$  삼각형 넓이 공식 ( $S = \frac{1}{2} \times \text{높이} \times \text{밑변}$ )을 이용하여 식을 전개하면

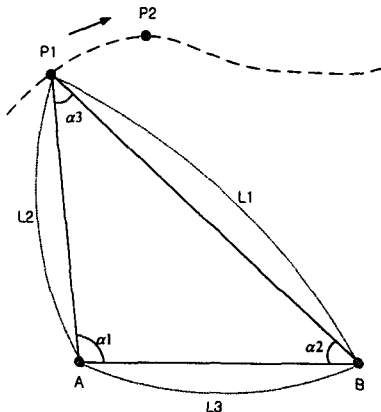
$$2S = \sin \alpha_1 \cdot L_2 \cdot L_3 = \sin \alpha_2 \cdot L_3 \cdot L_1 = \sin \alpha_3 \cdot L_1 \cdot L_2 \quad (S : \text{면적}, L_1, L_2, L_3 : \text{거리})$$

$$\sin \alpha_1 = \frac{2S}{L_2 \cdot L_3}, \quad \sin \alpha_2 = \frac{2S}{L_1 \cdot L_3}, \quad \sin \alpha_3 = \frac{2S}{L_1 \cdot L_2} \text{이다.}$$

[헤론의 공식] : 세변의 길이  $L_1, L_2, L_3$  을 알고있으면 그 삼각형의 면적( $S$ )을 구할 수 있다.

$$S = \sqrt{s(s-L_1)(s-L_2)(s-L_3)}$$

$$s = \frac{1}{2}(L_1 + L_2 + L_3) \quad (s : 삼각형 세변의 길이의 합)$$



헤론의 공식을 이용하여  $\alpha_1, \alpha_2, \alpha_3$  각을 구하면,

$$\sin \alpha_1 = \frac{2S}{L_2 \cdot L_3} = \frac{2\sqrt{s(s-L_1)(s-L_2)(s-L_3)}}{L_2 \cdot L_3}$$

$$\alpha_1 = \sin^{-1}\left(\frac{2\sqrt{s(s-L_1)(s-L_2)(s-L_3)}}{L_2 \cdot L_3}\right)$$

$$\sin \alpha_2 = \frac{2S}{L_1 \cdot L_3} = \frac{2\sqrt{s(s-L_1)(s-L_2)(s-L_3)}}{L_1 \cdot L_3}$$

그림 6  $\angle \alpha_1, \angle \alpha_2, \angle \alpha_3$  구하기

$$\alpha_2 = \sin^{-1}\left(\frac{2\sqrt{s(s-L_1)(s-L_2)(s-L_3)}}{L_1 \cdot L_3}\right)$$

$$\sin \alpha_3 = \frac{2S}{L_1 \cdot L_2} = \frac{2\sqrt{s(s-L_1)(s-L_2)(s-L_3)}}{L_1 \cdot L_2}$$

$$\alpha_3 = \sin^{-1}\left(\frac{2\sqrt{s(s-L_1)(s-L_2)(s-L_3)}}{L_1 \cdot L_2}\right).$$

P2 지점의  $\triangle ABP2$ 에 대한  $\angle \alpha_1', \angle \alpha_2', \angle \alpha_3'$ 의 각을 구하기위해 위 식과 동일하게 전개하면,

$$2S = \sin \alpha_1' \cdot L_2' \cdot L_3' = \sin \alpha_2' \cdot L_1' \cdot L_3' = \sin \alpha_3' \cdot L_1' \cdot L_2' \quad (S: 면적, L1', L2', L3' : 거리)$$

$$\sin \alpha_1' = \frac{2S}{L_2' \cdot L_3'}, \quad \sin \alpha_2' = \frac{2S}{L_1' \cdot L_3'}, \quad \sin \alpha_3' = \frac{2S}{L_1' \cdot L_2'}$$

$$\sin \alpha_1' = \frac{2S}{L_2' \cdot L_3'} = \frac{2\sqrt{s(s-L_1')(s-L_2')(s-L_3')}}{L_2' \cdot L_3'}$$

$$\alpha_1' = \sin^{-1}\left(\frac{2\sqrt{s(s-L_1')(s-L_2')(s-L_3')}}{L_2' \cdot L_3'}\right)$$

$$\sin \alpha_2' = \frac{2S}{L_1' \cdot L_3'} = \frac{2\sqrt{s(s-L_1')(s-L_2')(s-L_3')}}{L_1' \cdot L_3'}$$

$$\alpha_2' = \sin^{-1}\left(\frac{2\sqrt{s(s-L_1')(s-L_2')(s-L_3')}}{L_1' \cdot L_3'}\right)$$

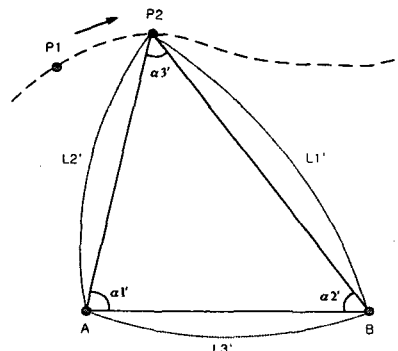


그림 7  $\angle \alpha_1', \angle \alpha_2', \angle \alpha_3'$  구하기

$$\sin \alpha_3' = \frac{2S}{L_1 \cdot L_2} = \frac{2\sqrt{s(s-L_1)(s-L_2)(s-L_3)}}{L_1 \cdot L_2}$$

$$\alpha_3' = \sin^{-1}\left(\frac{2\sqrt{s(s-L_1')(s-L_2')(s-L_3')}}{L_1' \cdot L_2'}\right)$$

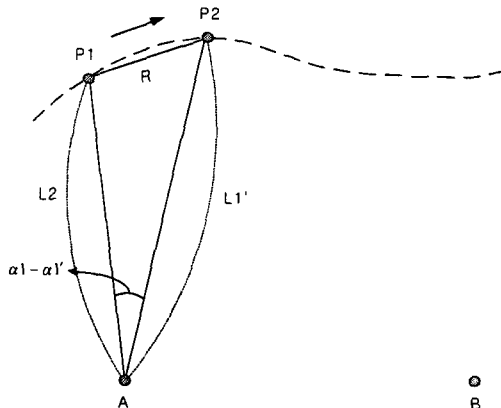


그림 8 R의 계산

$$R^2 = L_2^2 + L_2'^2 - 2 \cdot L_2 \cdot L_2' \cdot \cos(\alpha_1 - \alpha_1')$$

위 식을 이용하여 R을 구하면,

$$R = \sqrt{L_2^2 + L_2'^2 - 2 \cdot L_2 \cdot L_2' \cdot \cos(\alpha_1 - \alpha_1')}$$

계산식을 구하는 방법을 다시 정리하면 그림 9와 같다.[6][7]

위 식에서 구한  $\angle \alpha_1$ 과  $\alpha_1'$ 을 이용하여 간단히  $\angle \alpha_1 - \alpha_1'$ 의 각을 구할 수 있다.

$\triangle API_2$ 에서 P1에서 P2까지의 이동거리 R을 구하기 위해서는 아래의 식을 통해 구할 수 있다.

현재 우리는  $\triangle API_2$  삼각형 두 변의 길이  $L_2, L_2'$ 을 알고 있다. P1에서 P2로 이동한 거리 R을 구하기 위해서는 삼각형 2코사인 법칙을 이용하여 이동거리(R) 계산해 낼 수 있다.

WPS와 VRS의 편도 거리 측정

선로상의 열차 위치 Mapping

$\angle \alpha_1, \alpha_2, \alpha$  구함

$\angle \alpha_1', \alpha_2', \alpha_3'$  구함

$\angle \alpha_1 - \alpha_1', L_2, L_2'$ 로 이동거리 R 구함

그림 9 계산식 순서도

## 6. 결언

위 계산식은 P1, P2 사이의 거리 R에 대해서만 계산하였다. 선로를 더 세분화하여 P3~P10~P100...까지 적용한다면 각각의 선로 좌표에 대한 열차의 위치를 계산해 낼 수 있다.

또한 직선부 선로 보다 까다로운 곡선부 선로에 대한 거리 R을 계산을 할 때는, 거리 R을 극히 짧게 만들어 곡선부 선로를 거의 직선에 가까운 거리로 만들면 열차의 위치를 계산 할 수 있다.

참고로, 현재 알려진 열차간격 유지 방법에는 아래의 3가지가 있다.

- (1) 시간 간격법 : 진로상의 어느 특정 지점을 선행열차가 지나가고, 일정한 시간이 흐른 후 후행 열차가 운행할 수 있는 방법.
- (2) 공간 간격법 : 궤도를 물리적 구간으로 잘라 폐색 개념을 나누는 방법.
- (3) 연속 간격법 : 기존의 공간적 위치이동 개념의 열차검지에서 더 향상된 연속적 위치이동개념의 열차간격을 검지하는 방법(MBS).

위 방법중에서 열차의 연속적 위치이동을 파악할 수 있는, 연속간격법(MBS)방식이 미래의 열차제어 방식으로 가장 적합하다고 생각된다.

#### 【참 고 문 현】

- [1] "2002년 추계학술대회 논문집(2002.10)", 한국철도학회.
- [2] "우리나라 철도교통정책 (MBS)의 방향", 정보화, 건설교통부.
- [3] "철도신호공학", 동일출판사 박재영 외 2인, 2001년 9월.
- [4] "무선을 이용한 열차제어 시스템의 동향", 한국철도기술연구원 (2000), 철도신호통신 연구팀.
- [5] "도시철도 표준화 연구개발 사업 2002년도 연구결과 보고서", 2002년 12월.
- [6] "위상차(POA)를 이용한 이동체의 위치추적 기술", 윤용기외 2명, 철도기술 연구원.
- [7] "일본 전기학회 기술보고서", 제 904호", 일본 전기학회.